

MB 90-35

GÉOLOGIE DES CANTONS DE CUVIER, DE BARLOW ET D'OPEMISCA (PARTIE EST) - PROJET LEVY, PHASE II

Documents complémentaires

Additional Files



Licence



Licence

Cette première page a été ajoutée au document et ne fait pas partie du rapport tel que soumis par les auteurs.

Énergie et Ressources
naturelles

Québec 

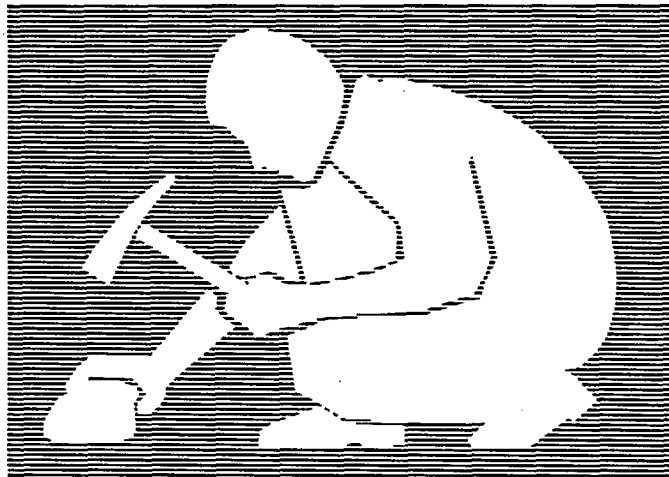


Gouvernement du Québec
Ministère de l'Énergie et des Ressources
Service géologique du Nord-Ouest

Géologie des cantons de Cuvier, de Barlow et d'Opémisca (partie est)

- Projet Lévy, phase II -

Rémy Morin



SÉRIE DES MANUSCRITS BRUTS

Le présent projet est financé par le ministère de l'Énergie, des Mines et des Ressources du Canada et le ministère de l'Énergie et des Ressources du Québec dans le cadre de l'entente auxiliaire Canada - Québec sur le développement minéral.

MB 90-35

1990

TABLE DES MATIÈRES

INTRODUCTION	2
GÉOLOGIE RÉGIONALE	3
STRATIGRAPHIE	4
Groupe de Roy	4
Formation de Gilman	4
Formation de Blondeau	5
Formation de Bordeleau	7
Groupe d'Opémisca	8
Formation de Stella	8
Formation de Haüy	8
ROCHES INTRUSIVES	9
Complexe de Cummings	10
Pluton d'Opémisca	12
Dykes de Leucogabbro	13
STRUCTURE	13
Les plis	13
Les failles	14
GÉOLOGIE ÉCONOMIQUE	15
RÉFÉRENCES	16

Introduction

Le projet Lévy (Phase II) s'inscrit dans le cadre de la révision de la carte géologique couvrant le feuillet 32G/15 du découpage S.N.R.C.. Nos travaux font suite à ceux entrepris en 1988 et ont pour objectifs d'intégrer les différentes lithologies au modèle stratigraphique régional, d'examiner les indices minéralisés et devront déboucher sur une analyse structurale de la région étudiée.

Le terrain levé au cours de l'été 1989, à l'échelle 1:20 000, couvre le canton de Cuvier, la demie sud du canton de Barlow et le quart NE du canton d'Opémisca. Cette région, d'une superficie de 220 Km², correspond à la demie N du feuillet 32G/15. Elle est comprise entre les latitudes 49°53' et 50°00' et les longitudes 74°30' et 75°00'. La cartographie a été effectuée à l'aide de cheminements espacés de 200 mètres dans les régions boisées et par une visite systématique des affleurements situés le long des routes et des lignes hydro-électriques. La région cartographiée, située à 15 Km au N de la ville de Chapais, est accessible par la route gravelée 209N orientée NS (via la route 113) et de nombreuses routes secondaires.

La région a été levée par Norman (1941a et 1941b) à l'échelle 1:63 360 entre 1936 et 1938 pour le compte de la Commission Géologique du Canada. Les levés de Gaucher (1960), d'Avramchev (1973), de Durocher (1973 et 1979), de Gobeil (1973),

de Beullac (1987) et de Dubé et Guha (1986 et 1989) couvrent également la région. Enfin de nombreuses compagnies minières ont levé à diverses époques différents secteurs de la région étudiée.

GEOLOGIE REGIONALE

L'ensemble des roches volcano-sédimentaires fait partie de la ceinture de roches vertes de Chibougamau-Matagami. Dans la région de Chibougamau-Chapais, l'assemblage volcano-sédimentaire, d'âge archéen, a été divisé en deux groupes (Allard et al., 1979): le Groupe de Roy, à la base et le Groupe d'Opémisca, au sommet. Le Groupe de Roy comprend de la base au sommet les Formations d'Obatogamau, de Waconichi, de Gilman et de Blondeau. Caty (1979) a rattaché à ce groupe la Formation de Bordeleau, située au-dessus de la Formation de Blondeau. Le Groupe d'Opémisca est subdivisé en deux formations: la Formation de Stella, à la base et la Formation de Haüy, au sommet.

Les roches volcaniques et sédimentaires sont envahies par des intrusions de composition ultramafique (Complexe de Cummings), tonalitique (Pluton de Chibougamau) et granodioritique (Pluton d'Opémisca). Elles sont fortement plissées, reposent presque à la verticale et ont été métamorphisées au faciès des schistes verts ou amphibolites en bordure des intrusions. Outre le plissement, les roches sont affectées par de nombreux cisaillements et fractures de direction EW, NE, NW, et NNE.

STRATIGRAPHIE

L'assemblage volcano-sédimentaire de la région étudiée comprend les roches du Groupe de Roy et d'Opémisca. Toutes les formations citées plus haut y sont représentées à l'exception des formations d'Obatogamau et de Waconichi de la base du Groupe de Roy.

Groupe de Roy.

Formation de Gilman

La Formation de Gilman (Duquette 1970 a) occupe les parties est et ouest de la région et elle est constituée de basaltes-andésites, de pyroclastites et de quelques filons-couches comagmatiques de gabbro-diorite. Les basaltes-andésites sont de couleur vert moyen à vert pâle en surface fraîche et gris verdâtre à brunâtre en surface altérée. Leur granulométrie est très variable allant d'aphanitique à grenue. Les basaltes-andésites contiennent de 5 à 10% de phénocristaux de plagioclase idiomorphe (2 à 5 mm d'arête) et moins de 5% de phénocristaux de pyroxène. Les coulées sont fréquemment coussinées ou massives et quelquefois bréchiques. Les coussins dans le secteur E de la région sont bien formés, amygdalaires ou vésiculaires et leur bordure de refroidissement varie de 2 à 5 cm de largeur; à l'ouest, les coussins sont mal formés et leur bordure de refroidissement ne dépasse pas 1 cm. Associés à ces laves, on

retrouve des filons-couches de gabbro et de diorite de 5 à 150 m d'épaisseur. Ces filons couches contiennent généralement entre 2 et 5% de quartz à leur sommet.

Les pyroclastites intercalés aux basaltes-andésites sont des tufs à lapilli et des tufs à blocs de composition mafique à felsique. L'épaisseur moyenne des lits de tufs est de 5 à 8 m. Ils sont gris moyen verdâtre à gris sombre en cassure fraîche et brun à beige en surface altérée. Le litage est bien développé et montre localement un granoclassement.

Dans la partie W de la région étudiée, nous avons levé une mince bande (5 m d'épaisseur) de tuf rhyolitique et deux minces bandes d'argilite graphiteuse noire (2 m d'épaisseur). Le tuf rhyolitique est gris sombre en surface fraîche et beige en surface altérée.

Formation de Blondeau

La Formation de Blondeau (Duquette, 1970) occupe le centre de la région. Elle affleure en bandes étroites (10 à 100 m d'épaisseur) séparées par les filons-couches du Complexe de Cummings ou couvre des aires plus étendues dans le centre E de la région. Elle est constituée de tufs acides, de lave rhyolitique et dacitique, de grès feldspathique, d'argilite graphiteuse et de quelques amas de sulfures massifs (à l'origine des conducteurs électromagnétiques régionaux) et de quelques coulées de laves

andésitiques ou basaltiques.

Les tufs acides (cendres à lapillis et à blocs) sont de couleur gris moyen à gris verdâtre en cassure fraîche et blanchâtre en surface altérée. Ils sont généralement bien lités (10 cm à 1 m d'épaisseur). Ils contiennent de nombreux lits chertueux (2 à 15 cm d'épaisseur) de couleur gris sombre en cassure fraîche et gris pâle en surface altérée. Dans le secteur à l'est du ruisseau Leclerc, nous avons relevé une étroite bande de tuf acide à concrétions siliceuses. Les lits de 10 à 50 cm d'épaisseur sont bien laminés.

Les laves rhyolitiques et dacitiques sont peu abondantes. Elles sont de couleur gris moyen en surface fraîche et blanchâtre en surface altérée. La roche est constituée de cristaux de quartz et de feldspath dans une matrice aphanitique.

Le grès feldspathique est gris pâle en cassure fraîche et brun pâle à beige en surface altérée. Leur granulométrie varie de très fine à moyenne et localement les fragments sont conglomératiques. Les lits de 2 à 50 cm d'épaisseur montrent souvent du granoclassement. Il renferme du quartz, du plagioclase et, dans une moindre proportion, des fragments d'argilite et de pyroxène baignant dans une matrice finement grenue.

Les argilites sont graphiteuses et contiennent souvent de la pyrite. Elles sont de couleur gris sombre à noire en surface

fraîche et en surface altérée. Elles forment des rythmites avec le grès et se présentent en lits de quelques millimètres à plus de 5 m d'épaisseur.

Les coulées de laves basaltiques et andésitiques sont peu abondantes. Elles présentent des coussins bien formés à bordures de refroidissement bien développées (2 à 4 cm de largeur). Elles sont vert moyen en cassure fraîche et vert pâle à gris verdâtre en surface altérée. Certaines coulées sont variolitiques et ont été observées sous le filon-couche de Bourbeau en bordure de la route 209 N.

Formation de Bordeleau

La Formation de Bordeleau (Caty, 1979) couvre l'extrémité NE de la région (Lac Chevrillon). Elle est constituée de grès feldspathique fin à micro-conglomératique. Le grès est vert grisâtre en cassure fraîche et brunâtre en surface altérée. Il forme des lits épais et massifs (5 à 10 m d'épaisseur). Localement le grès est conglomératique et renferme des fragments de volcanite felsique subanguleux à subarrondis qui constituent moins de 10% de volume de la roche. Les grès fins montrent de nombreuses figures sédimentaires: granoclasement, stratification entre-croisée, empreintes de charge et chenaux d'érosion.

GROUPE D'OPEMISCA

Formation de Stella

La Formation de Stella (Cimon, 1976) est représentée par une bande EW de 500 mètres environ à l'extrémité ouest de la région. Cette formation est en contact de faille (Faille Faribault) avec la Formation de Gilman du Groupe de Roy. La formation de Stella renferme des grès, des conglomérats et de rares lits d'argilite.

Les grès et conglomérats sont de couleur gris verdâtre en cassure fraîche et blanchâtre en surface altérée. Ils sont constitués principalement de grains arrondis de quartz et de feldspath et dans une moindre part de chlorite, de séricite et de calcite. Les fragments détritiques arrondis sont constitués de quartz, de laves de composition variée et de quelques cailloux de granitoïdes. L'épaisseur des lits varie entre 30 cm et 1 m, ils sont intercalés avec les grès et on y retrouve également de minces lits (2 à 5 cm d'épaisseur) d'argilite.

Formation de Haüy

La Formation de Haüy (Cimon, 1976) occupe l'extrémité NW de la région étudiée et affleure dans une bande de direction EW. Elle repose en concordance sur la Formation de Stella et renferme des coulées andésitiques, des conglomérats et de rares lits de

grès feldspathique et d'argilite.

Les laves andésitiques sont de couleur gris sombre à gris verdâtre en surface fraîche et brun verdâtre en surface altérée. Elles contiennent des phénocristaux de plagioclase et de pyroxène (.2 à 2 cm d'arête) qui baignent dans une matrice microcristalline. Ces laves sont massives et, localement amygdalaires. Elles sont particulièrement abondantes au voisinage de la rivière Opémisca.

Les grès et conglomérats sont gris moyen en cassure fraîche et blanchâtre en surface altérée. Les conglomérats sont homogènes et contiennent en majeure partie des fragments de cailloux de laves andésitiques provenant de l'érosion des coulées qui caractérisent la formation. Le grès, qui constitue également la matrice du conglomérat renferme du plagioclase, du pyroxène et de la chlorite. Les grès et conglomérats abondent à l'ouest de la rivière Opémisca. Enfin de minces et rares lits d'argilite noire sont intercalés avec ces derniers.

ROCHES INTRUSIVES

Plusieurs intrusions de composition variable ont envahi les roches volcano-sédimentaires de la région. Les principales intrusions sont: le Complexe de Cummings de composition ultramafique à mafique et le Pluton d'Opémisca de composition granodioritique. Soulignons, également, la présence de dyke de

leucogabbro qui recourent les roches de la région.

Complexe de Cummings

Le Complexe de Cummings (Duquette, 1976) comporte 3 filons couches séparés mais génétiquement reliés: le filon-couche de Roberge à la base suivi par le filon-couche de Ventures puis par le filon-couche de Bourbeau au sommet.

Le filon-couche de Roberge affleure sur le flanc sud du synclinal de Chibougamau où l'on en retrouve deux segments; l'un étant dans la Formation de Gilman et l'autre dans la formation de Blondeau. Ce filon-couche, de composition ultrabasique, se compose d'une alternance de dunite, de péridotite et pyroxénite. La dunite et la péridotite ne diffèrent que par le pourcentage en olivine. Elles sont de couleur vert sombre en surface fraîche et noirâtre en surface altérée. Elles sont plus ou moins serpentinisées et contiennent généralement de la magnétite. Elles sont généralement massives et localement elles montrent une foliation ou un litage magmatique et une texture poecilitique. La péridotite passe graduellement à une pyroxénite vert foncé en cassure fraîche et vert moyen en surface altérée. La granulométrie de la pyroxénite est variable et la roche est massive.

Le filon-couche de Ventures, qui surmonte le filon-couche de Roberge se loge au contact de la Formation de Gilman et de

Blondeau ou dans la Formation de Blondeau. On en retrouve deux bandes identiques sur le flanc sud de l'axe synclinal de Chibougamau à sommet vers le nord et il affleure également sur le flanc nord du même synclinal. Il est composé de pyroxénites à la base, d'un gabbro folié et d'un gabbro ophitique au sommet. La pyroxénite du filon-couche de Ventures est similaire à celle décrite dans le filon-couche de Roberge. Il est donc difficile de différencier ces deux filons-couches lorsqu'ils sont en contact. Elle passe localement à une pyroxénite noire équigranulaire. Les pyroxénites passe graduellement à un gabbro folié. Le gabbro folié montre une structure planaire où de minces couches millimétriques riches en pyroxène alternent avec de minces couches riches en plagioclases. Localement, nous avons observé un gabbro lité où les couches de 10 à 15 cm sont composées de pyroxène-magnétite à la base avec un enrichissement de plagioclase vers le sommet. Le gabbro lité est surmonté par le gabbro Ventures. Ce gabbro se compose de plagioclase, de pyroxène et de magnétite et se distingue facilement par sa texture ophitique à subophitique où les plagioclases se présentent en forme de rosettes. Dans la partie sommitale, le gabbro Ventures peut contenir jusqu'à 5% de quartz. Au-dessus du Ventures, dont il est séparé par quelques strates de Blondeau, le filon couche de Bourbeau est composé d'une pyroxénite à la base, d'un leucobabbro et d'un ferro-gabbro à quartz qui passe finalement à une diorite quartzifère au sommet. Ce filon-couche est le plus important du point de vue étendue et puissance; il couvre le coeur du synclinal de Chibougamau au centre de la région et, également, les flancs du synclinal de Chevrillon. On

le retrouve aussi à l'est de la rivière Opémisca et du ruisseau Leclerc. La pyroxénite est massive, de couleur vert foncé à noire en cassure fraîche et brunâtre en surface altérée. Le leucogabbro est massif, de couleur blanchâtre tacheté de vert et renferme dans une proportion équivalente du pyroxène et du plagioclase altérés. Localement, le leucogabbro contient jusqu'à 5% du quartz. Le ferrogabbro à quartz est de couleur noire tacheté de blanc et possède une texture subophitique à panidiomorphique où les pyroxènes altérés se présentent en forme de rosettes. Il est composé de pyroxènes et de plagioclases altérés et devient très quartzifère vers le sommet où il passe graduellement à une diorite quartzifère.

Pluton d'Opémisca

Le pluton d'Opémisca (Wolhuter 1970) est une masse intrusive de forme elliptique, mesurant 33 km de long par 15 km de largeur et qui forme le coeur de l'anticlinal de Chibougamau. Ce pluton, de la suite des granodiorites, contient des enclaves de roches encaissantes, lesquelles sont plus abondantes en bordure.

Les affleurements situés à l'extrémité sud-ouest de la région représentent cette intrusion; c'est une granodiorite à grain moyen composée de quartz, de plagioclase et, dans une moindre part, de microcline et de hornblende. Le contact avec la roche encaissante est discordant et des brèches d'intrusions sont présentes. Les roches encaissantes sont fortement amphibolitisées près de la zone de contact.

Dykes de leucogabbro

Nous avons levé deux types de leucogabbro qui recoupent les roches de la région. Le premier type forme deux bandes lenticulaires (filon-couche) sur le flanc sud du synclinal de Chibougamau à l'intérieur de la Formation de Blondeau. Ce gabbro de couleur gris moyen en cassure fraîche et blanc grisâtre en surface altéré est grossier avec des plagioclases en lattes. Le second type recoupe les roches de la Formation de Gilman dans la partie ouest de la région. Il est constitué de phénocristaux de pyroxènes de 1 à 2 cm d'arête qui baignent dans une matrice de plagioclase.

STRUCTURE

Les plis

Les roches de la région ont une direction générale EW et cette direction dévie légèrement vers le WNW au pourtour du pluton d'Opémisca et vers le NNE dans le secteur de la rivière Opémisca. Deux épisodes de déformation affectent les roches de la région. La première phase a une distribution locale et affecte les formations de Gilman, de Blondeau et le Complexe de Cummings. Les meilleurs exemples de ces plis se situent dans le secteur de la rivière Opémisca où l'axe des plis est orientée NNE. La seconde phase de plissement affecte toutes les roches de la région, à l'exception du pluton d'Opémisca. Cette phase a

produit le synclinal et l'anticlinal de Chibougamau qui traversent la région en son entier et le synclinal de Chevrillon au NE de la région.

Le schistosité régionale S2 est d'orientation générale EW, mais à l'approche du pluton d'Opémisca, elle tend à se mouler au pourtour de celui-ci.

Les failles

Les principales failles de la région sont la faille Faribault d'orientation E-W et la faille du lac Gwillim orientée N-E.

La faille Faribault, orientée E-W, sépare les roches du Groupe de Roy (Formation de Gilman) de celles du Groupe d'Opémisca (Formation de Stella) dans la partie ouest de la région. A l'est de la région elle sépare le filon-couche de Bourbeau et la Formation de Gilman. Cette faille, qui traverse la région et se poursuit vers l'est jusqu'à la faille du lac Gwillim, est caractérisée par d'importantes zones de cisaillement, une forte linéation d'étirement verticale et une altération importante en carbonate de fer et séricite.

La faille du lac Gwillim est une structure régionale orientée NE à rejet senestre. Nous ne l'avons pas observée directement dans la région étudiée; celle-ci étant recouverte

par un épais dépôt quaternaire. Cette faille, qui se poursuit sur une distance d'au moins 100 Km, se présente sous forme de cisaillement contenant l'assemblage quartz-chlorite-carbonate.

Outres ces principales failles, les roches de la région sont découpées par des failles et fractures secondaires de direction EW, NE, NNE et NW. La répétition des filon-couches de Roberge et de Ventures au sud de l'axe du synclinal de Chibougamau est possiblement répété par une faille inverse EW. On a d'ailleurs observé des déformations plus intenses à l'intérieur des strates de la Formation de Blondeau ou en bordure de celle-ci. La répétition du filon-couche de Ventures au nord de l'axe du synclinal de Chibougamau semble également due à une faille. Les failles NNE et NE recoupent les failles EW et se présentent sous forme de cisaillement avec une forte altération en carbonate de fer. Elle ont un rejet apparent senestre. Enfin des fractures NW (cisaillements mineurs) sont également présentes dans la région.

GEOLOGIE ECONOMIQUE

Plusieurs indices minéralisés sont présents dans la région. Les tufs de la Formation de Blondeau contiennent des amas de sulfures massifs et des sulfures remobilisés dans des veines. Les filons-couches du Complexe de Cummings contiennent des sulfures (1 à 2% de pyrite et pyrrhotine et un peu de chalcopryrite) disséminés dans des filons de quartz. Les

minéralisations pyrite-pyrrhotine et chalcopryrite se présentent également sous forme de remplissage de fractures le long des zones de faille. La localisation des fiches de gîte décrivant ces indices apparaît sur la carte géologique et le tableau 1 donne une brève description de ces indices.

REFERENCES

- Allard, G.O. - Caty, J.L. - Chown, E.H. - Cimon, J. - Gobeil, A. Baker, D., 1979 - Stratigraphie et métallogénie de la région de Chibougamau. GAC-MAC; congrès à l'université Laval, Québec; livret-guide pour l'excursion B-1, 89 pages.
- Avramchev, L., 1972 - Quart sud-ouest du canton de Barlow. Ministère des Richesses Naturelles, Québec; DP-120, 36 pages.
- Beullac, R., 1987 - Géologie de la demie nord du canton de Barlow, région de Chibougamau. Ministère de l'Energie et des Ressources, Québec; ET 87-05, 36 pages
- Caty, J.L., 1979 - Demie ouest du canton de Bignell. Ministère des Richesses Naturelles, Québec; DPV-678, 22 pages
- Cimon, J., 1976 - Géologie du canton de Queylus (nord-est). Ministère des Richesses Naturelles, Québec; DPV-439, 34 pages.

Dubé, B, et Guha, J., 1986 - Etude métallogénique (aurifère) du filon-couche de Bourbeau, région de Chibougamau. Ministère de l'Energie et des Ressources, Québec; MB-86-04, 53 pages.

_____, 1989. Etude métallogénique (aurifère) du filon-couche de Bourbeau (région de Chibougamau). Ministère de l'Energie et des Ressources. Québec; MM-87-03, 156 pages.

Duquette, G., 1970a - Stratigraphie de l'Archéen et relations métallogéniques dans la région de Chibougamau. Ministère des richesses Naturelles, Québec; ES-8, 18 pages

_____, 1970b - North half of McKenzie and Roy townships and north-west quarter of McCorkill township. Ministère des Richesses Naturelles, Québec; DPV-357, 126 pages.

Durocher, M., 1973 - Géologie d'une partie du Quart nord-ouest et nord-est du canton d'Opémisca. Ministère des Richesses Naturelles, Québec, DP-204, 18 pages.

_____, 1979 - Canton d'Opémisca et quart nord-ouest du canton de Cuvier. Ministère des Richesses Naturelles, Québec; DP-611, 31 pages.

Gaucher, E.H., 1960 - Rapport préliminaire sur le quart sud-est du canton de Barlow. Ministère des mines, Québec; RP-425, 13 pages.

Gobeil, A., 1973 - Demie sud du canton de Cuvier. Ministère des Richesses Naturelles, Québec; DP-201, 18 pages.

Norman, G.W.H., 1941a - Est half Opémisca. Commission géologique du Canada; carte 401 A.

_____, 1941b - West half Opemisca. Commission géologique du Canada; carte 602 A.

Wolhuter, L.E., 1970 - Le pluton d'Opémisca. Ministère des Richesses Naturelles, Québec; ES-t. 122 pages.

Tableau 1. Indices minéralisés de la région

No. de la fiche de gîte ou nom de l'indice	Roche encaissante	Type de minéralisation	Minéralisations	Teneur	Source
32G/15 - 3	Lave de la Formation de Haüy	syngénétique	Cp, Sp, Py, Po, Ag	5.14 g/t Ag et .3% Cu sur 1.5 m	GM 29961
32G/15 - 4	Lave de la Formation de Blondeau	syngénétique et veine	Sp, Cp, Ag, Py, Po	15.79 g/t Ag, .8% Cu et 3% Zn sur .6 m	GM 24532
32G/15 - 8	Tuf de la Formation de Blondeau	veine	Py, Cp, Sp, Po	1,51% Cu et .8% Zn sur .45 m	GM 15091
32G/15 - 10	Tuf de la Formation de Blondeau	synténétique et veine	Cp, Py, Po	.35% Cu sur 7 m	GM 4800B
32G/15 - 12	Tuf de la Formation de Blondeau	syngénétique	Cp, Po, Py, Ag, Sp	.4% Cu sur 1.5 m	GM 6168
32G/15 - 15	Filon-couche de Bourbeau	veine	Py, Au	65.15 g/t Au	GM 5788
32G/15 - 19	Tuf de la Formation de Blondeau	syngénétique	Cu, Zn	--	Gobeil 1975
32G/15 - 24	Tuf de la Formation de Blondeau	syngénétique	Py, Po, Cp, Ag	.25% Cu sur .5 m 3.33 g/t Ag sur .3 m	GM 29157
32G/15 - 26	Pyroxénite du Roberge	substitution et veine	Cs, St, Mg	---	ES - 14
32G/15 - 27	Tuf de la Formation de Blondeau	veine	Py, As, Po, Cp	.28% Cu sur 4.5 m 4.4 g/t Ag sur 1.6 m	GM 30626
2G/15 - 30	Tuf de la Formation de Blondeau	syngénétique	Po, Py, Cp, Sp	.35% Cu sur 4.2 m 1.05% Cu et 2 g/t Au sur .6 m	GM 27518 GM 29157

UQEA

DEPT DE HAM

1

Tableau 1 (suite). Indices minéralisés de la région

No. de la fiche de gîte ou nom de l'indice	Roche encaissante	Type de minéralisation	Minéralisations	Teneur	Source
32G/15 - 31	Tuf de la Formation de Blondeau	syngénétique	Py, Po, Cp	.39% Cu sur 7.3 m 1.65% Cu sur 1.5 m	GM 4430B
32G/15 - 32	Tuf de la Formation de Blondeau	syngénétique	Cp, Py, Po, Mg, Ag	1.76% Cu sur 2 m	GM 20521
32G/15 - 35	Lave de la Formation de Gilman	syngénétique	Py, Po, Cp	---	GM 4465 A et B
32G/15 - 36	Tuf de la Formation de Blondeau	syngénétique	Mg, Py, Po	---	GM 5869 GM 227
32G/15 - 37	Filon-couche de Bourbeau	veine	Au	.68 g/t Au 7,83 g/t Au	GM 10349 GM 907A
32G/15 - 82	Tuf de la Formation de Blondeau	syngénétique	Sp, Cp	3.23% Zn .4% Cu	inédit BA-79-07
32G/15 - 84	Tuf de la Formation de Blondeau	syngénétique	Po, Cp, Py	---	GM 26740
32G/15 - 85	Péridotite et duite du filon-couche de Roberge	veine	Cs, St	---	inédit BA-79-14
Barlow ouest	Lave de la Formation de Gilman	veine	Py, Au	3.4 et 3.7 g/t Au	Présent rapport
Croteau est	Gabbro du filon-couche de Bourbeau	veine	Py, Au	6 g/t Au	Et-87-05
Tadd	Gabbro du filon-couche de Bourbeau	cisaillement et veine	Py, Cp, Au	7.54 g/t Au	GM 40483
Simard	Lave de la Formation de Gilman	cisaillement et veine	Py, As	---	GM 45300
Dadson	Gabbro de la Formation de Gilman	veine	Py, Cp, As, Fu	100 et 400 ppb Au	GM 45300